

図 3.4.49 秋季における地衡流東西成分 (U) の南北断面分布 (130°E)

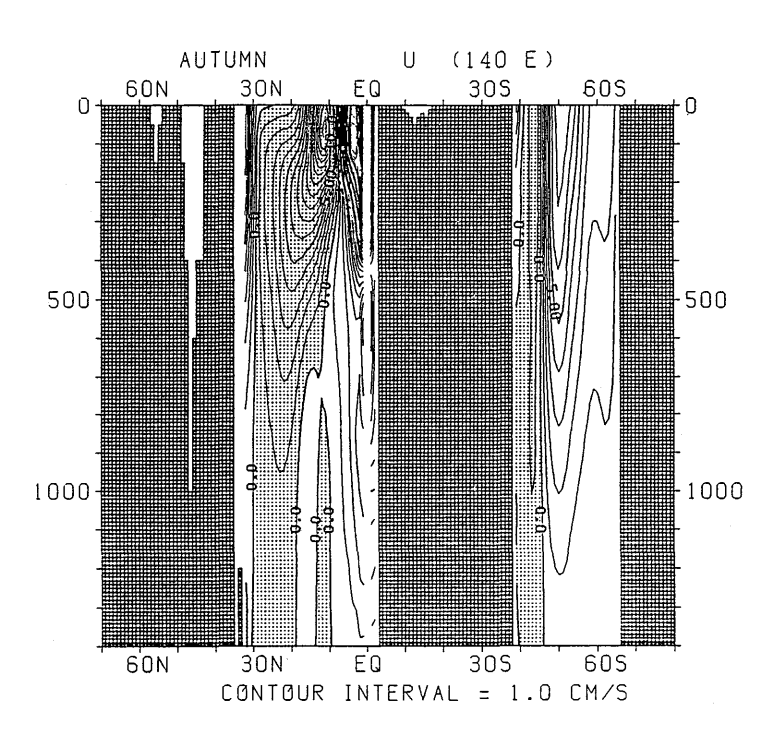


図 3.4.50 秋季における地衡流東西成分 (U) の南北断面分布 (140°E)

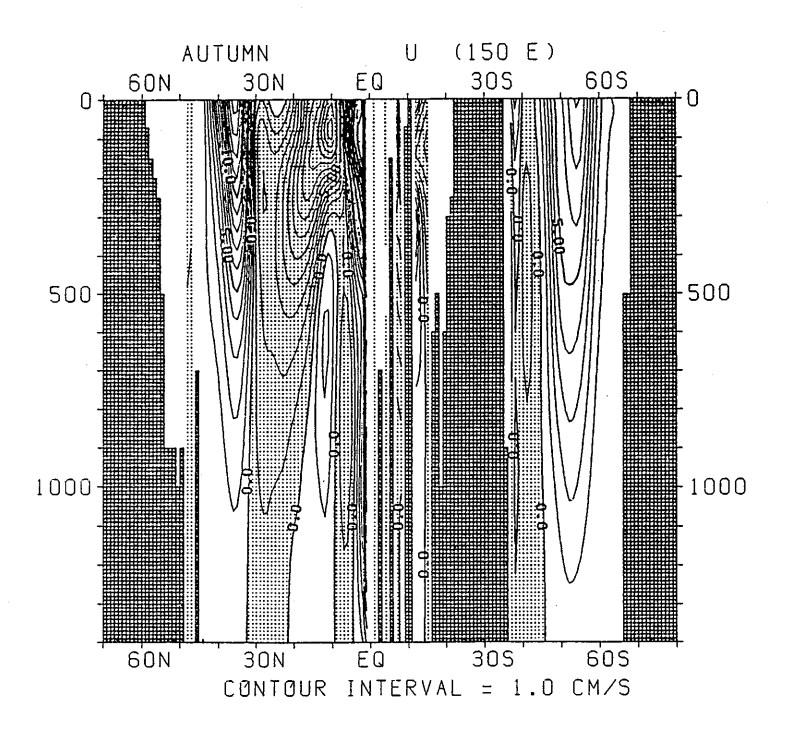


図 3.4.51 秋季における地衡流東西成分 (U) の南北断面分布 (150°E)

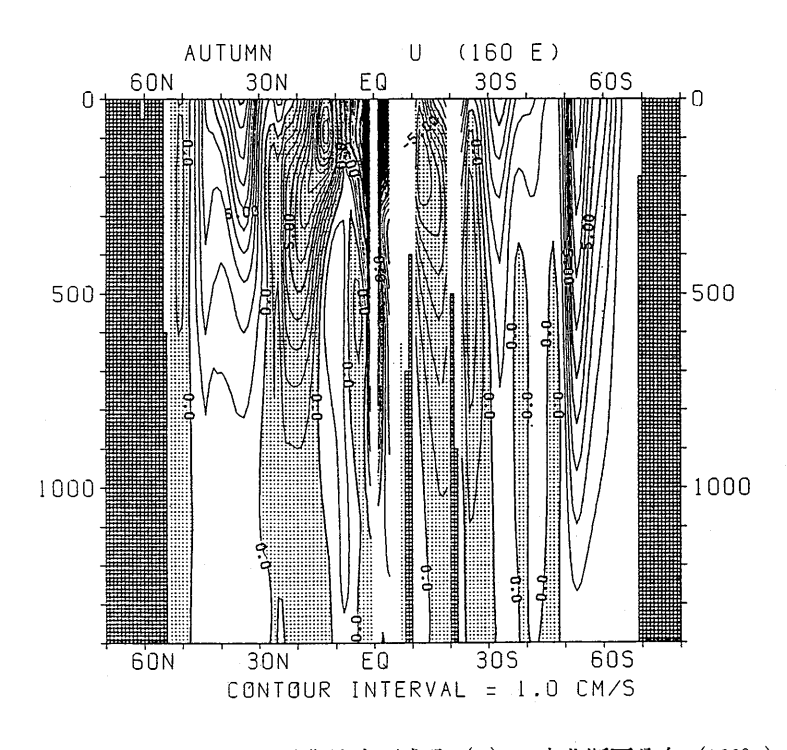


図 3.4.52 秋季における地衡流東西成分 (U) の南北断面分布 (160°E)

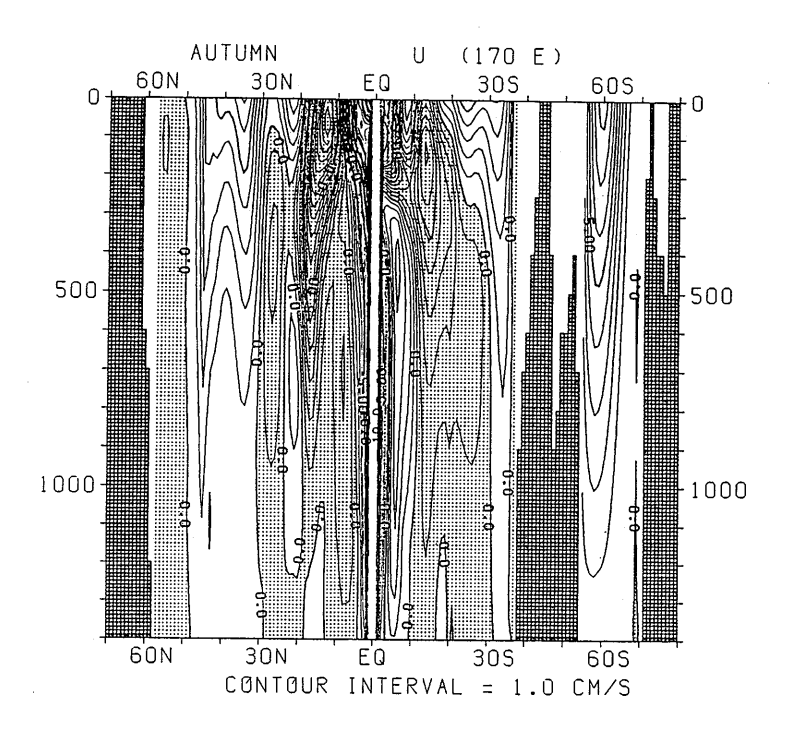


図 3.4.53 秋季における地衡流東西成分 (U) の南北断面分布 (170°E)

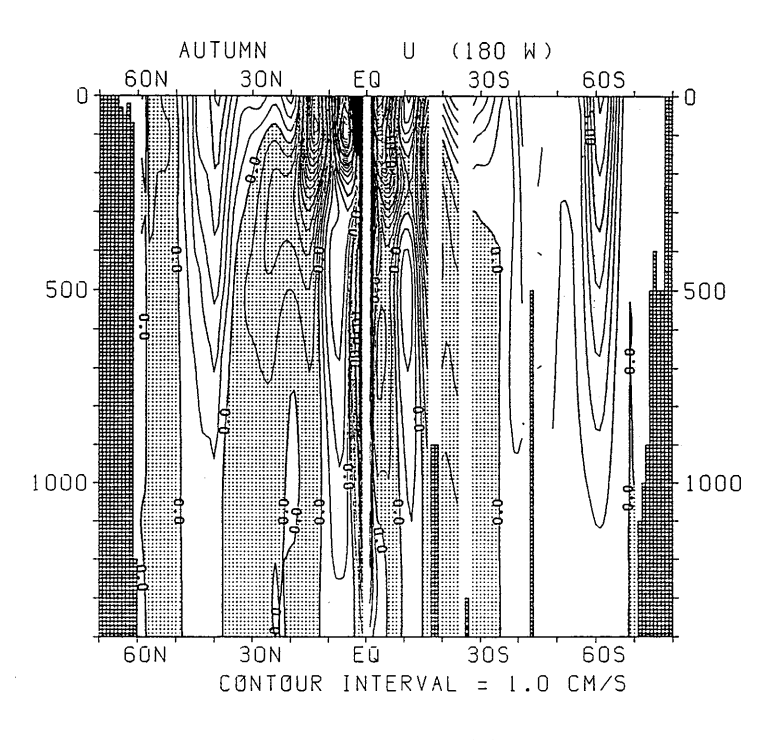


図 3.4.54 秋季における地衡流東西成分(U)の南北断面分布(180°)

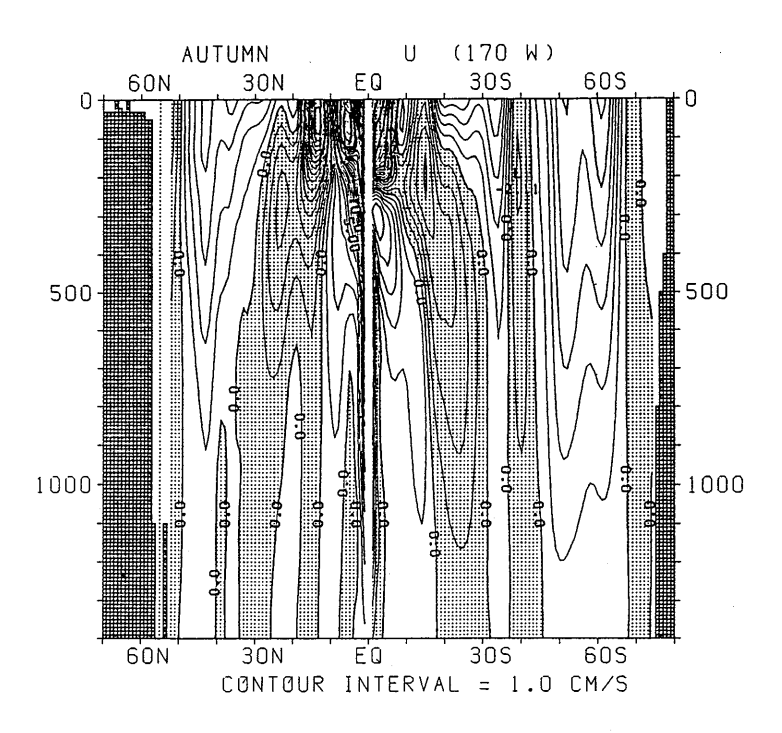


図 3.4.55 秋季における地衡流東西成分 (U) の南北断面分布 $(170^{\circ}W)$

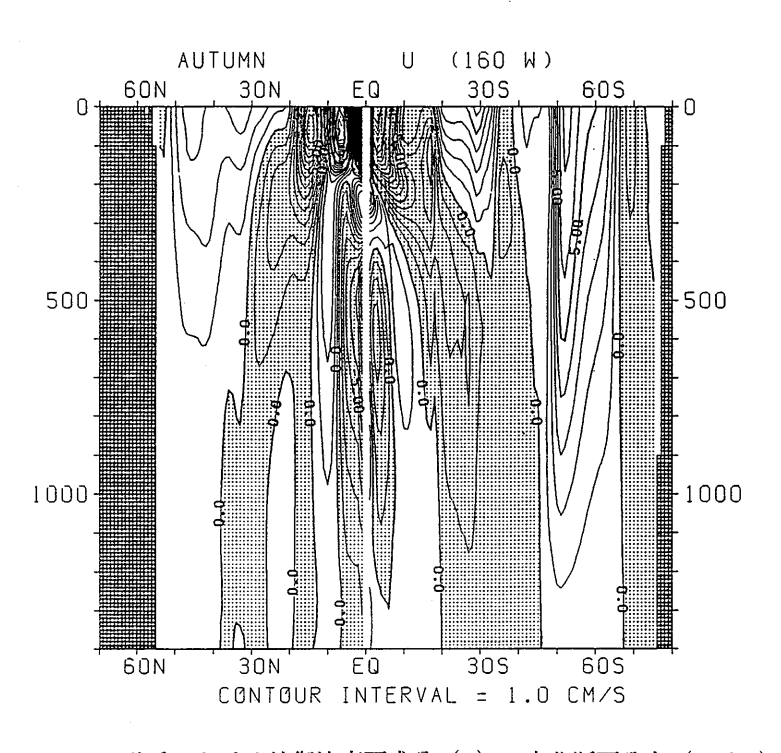


図 3.4.56 秋季における地衡流東西成分(U)の南北断面分布(160°W)

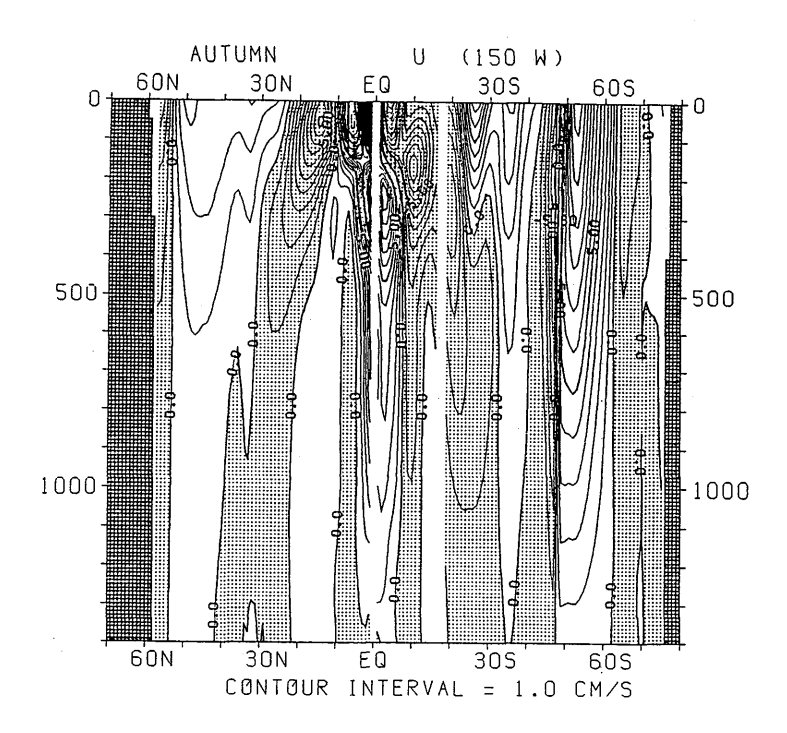


図 3.4.57 秋季における地衡流東西成分 (U) の南北断面分布 $(150^{\circ}W)$

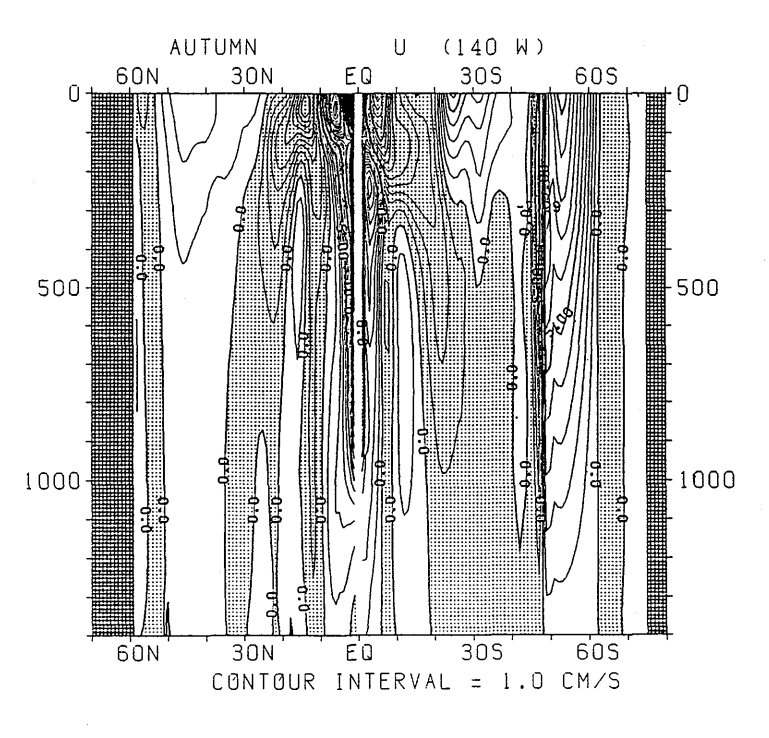


図 3.4.58 秋季における地衡流東西成分 (U) の南北断面分布 (140°W)

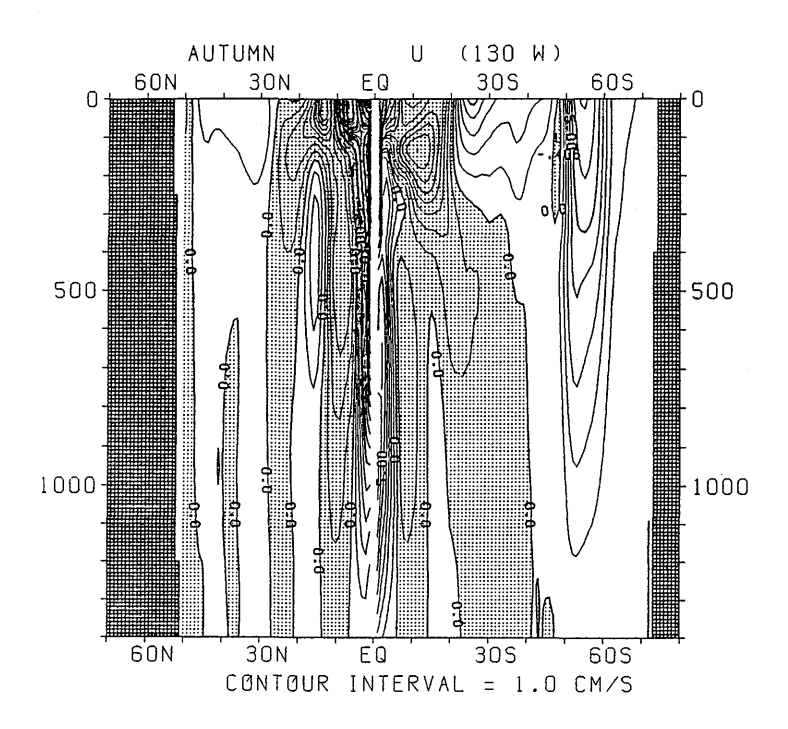


図 3.4.59 秋季における地衡流東西成分 (U) の南北断面分布 (130°W)

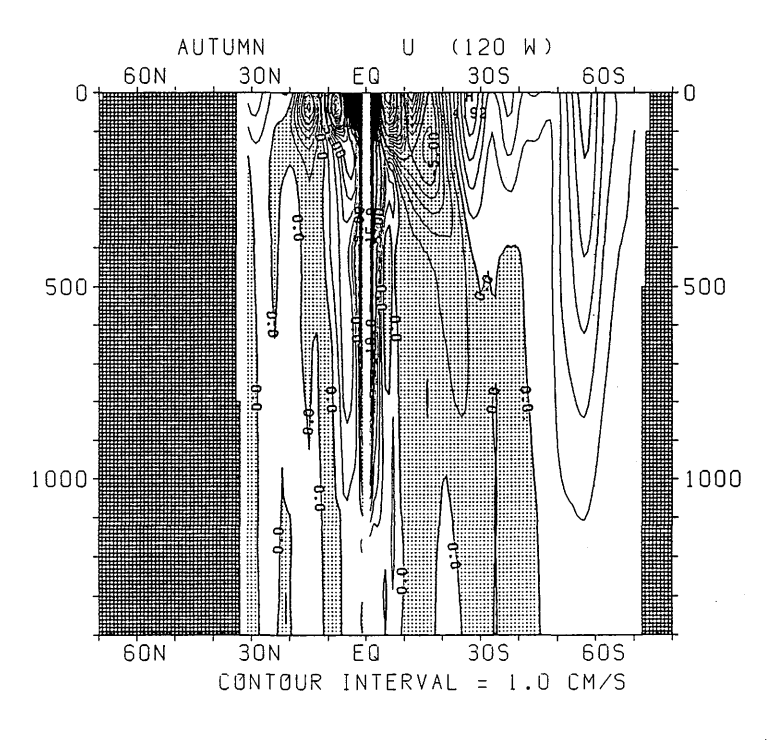


図 3.4.60 秋季における地衡流東西成分(U)の南北断面分布(120°W)

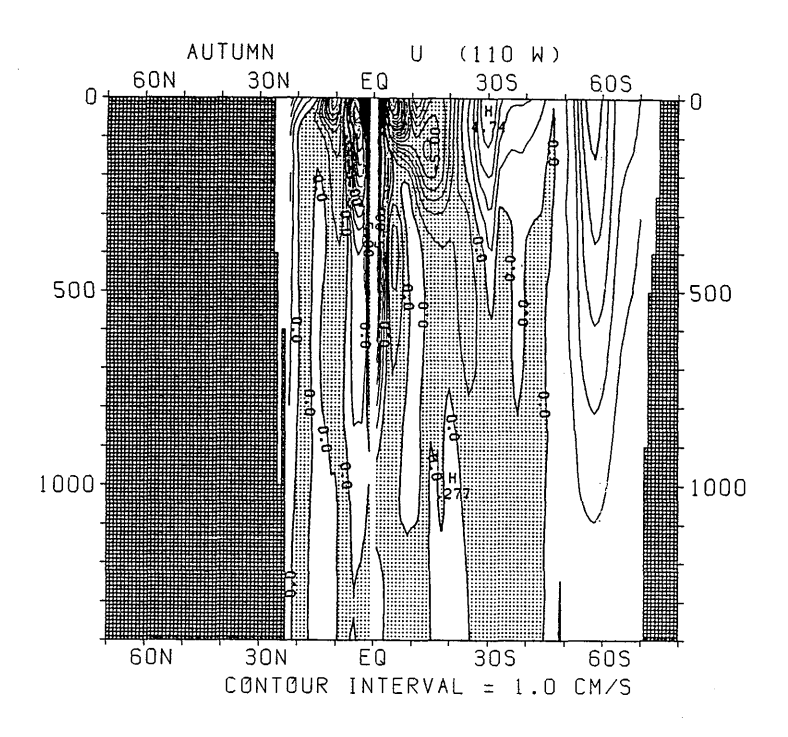


図 3.4.61 秋季における地衡流東西成分 (U) の南北断面分布 $(110^{\circ}\mathrm{W})$

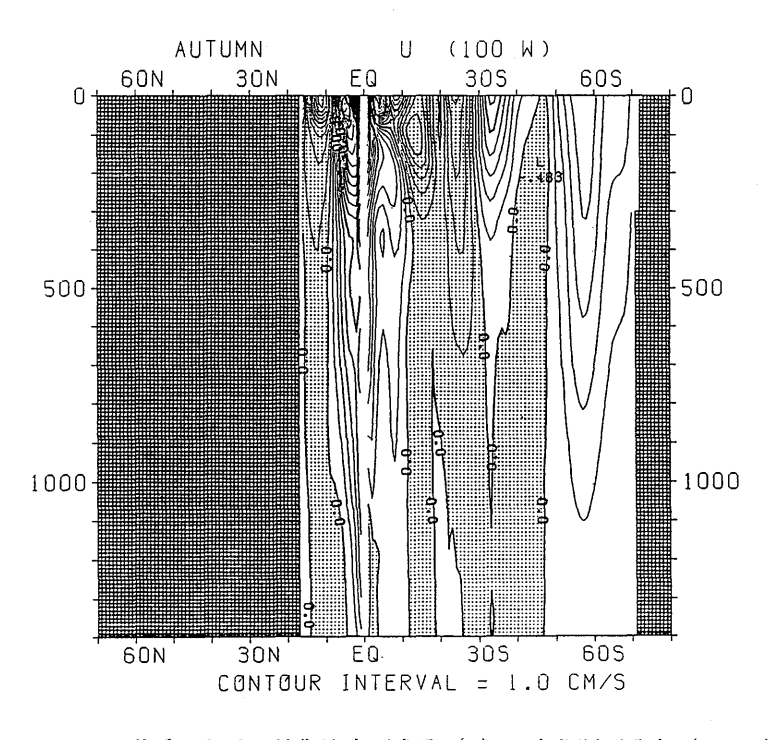


図 3.4.62 秋季における地衡流東西成分 (U) の南北断面分布 (100°W)

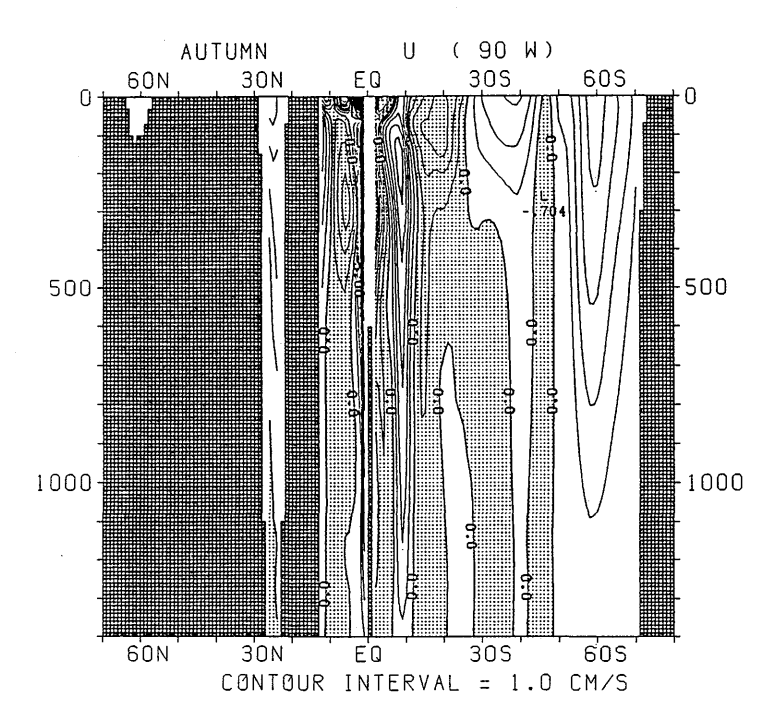


図 3.4.63 秋季における地衡流東西成分(U)の南北断面分布(90°W)

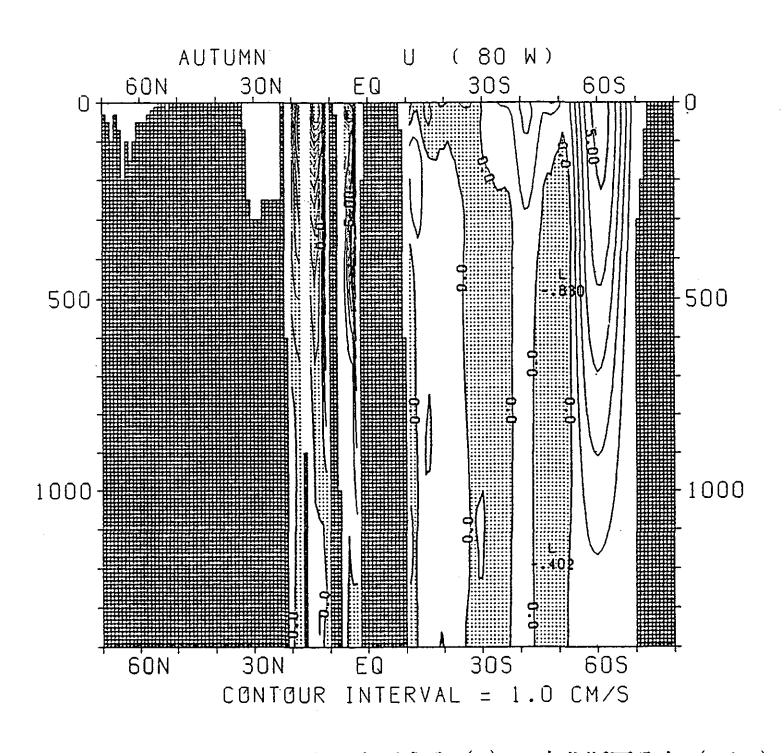


図 3.4.64 秋季における地衡流東西成分(U)の南北断面分布(80°W)